

北海道大学 正員 能町和雄
苫小牧高専 正員 ○澤田知之

1 まえがき

本論文は円形に地盤中に打ち込まれた鋼管を互いに連結させ、鋼管矢板群として一体的に外力に抵抗する機能を持った構造物の解析に関する研究である。この構造は近来、橋梁基礎のケーソンに代わるものとして用いられたり、溶鉱炉等の大型構造物の基礎として相当数の例を見ることが出来る。本構造における問題点の1つは鋼管と鋼管の継手効果であろう。従来の設計指針等では、井筒を一体のものとして扱い、合成効率により継手処理の状態に応じて換算断面2次モーメントを用いて試算を行なっている。(例えば緑手部をモルタル充填などで処理している時は $\mu = 0.5$ として、割増し断面2次モーメントを計算する。)

ここでは、互いに隣接する各節要素の緑手に一種のバネ定数を考へて、各軸の継手を介する伝達力の評価を行なうことを特長とするもので、図-1, 3 に示す様な変位間の関係、及び図-2, 3 に示す如くの節点力と節点変位の関係を考える。軸方向力を考慮しない場合は3個、考慮する場合は4個、考慮する場合

は4個の連立微分差分方程式が導かれる。これを構造の周辺方向には離散型のフーリエ変換、軸方向に有限フーリエ変換を施すことにより、未知数を容易に減らし、収束の速い簡単な解を求め得るものである。今回の報告は、2, 3 の実験結果と理論計算との比較検討を中心に行なうものである。

2 解析概要

図より節点力は、緑手のずれに比例すると仮定して次の如く表わすことが出来る。

$$P_{r\pm} = K_r \cdot [\{\Delta U_r(x) - \nabla \theta_r(x) \cdot a\} \cos \theta + \nabla V_r(x) \sin \theta]$$

$$T_{r\pm} = K_T \cdot [\{-\nabla U_r(x) + \Delta \theta_r(x) \cdot a\} \sin \theta + \Delta V_r(x) \cos \theta]$$

$$S_r^R = K_S \cdot [\Delta W_r(x) + \nabla V_r(x) \cdot a]$$

ここで Δ は一次差分及び和分を示し $\Delta U_r(x) = U_r(x) - U_r(x-dx)$
 $\Delta \theta_r(x) = \theta_r(x) + \theta_r(x-dx)$ 等である。 $V_r(x) = \frac{dW_r}{dx}$ である。

尚、 K_r は構造の半径方向の緑手剛度、 K_T は横軸方向、 K_S は軸方向の緑手剛度であり、単位は N/m である。

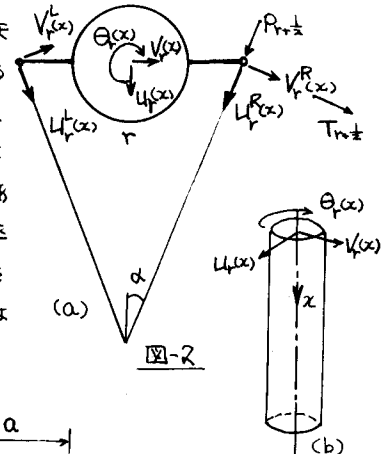


図-2

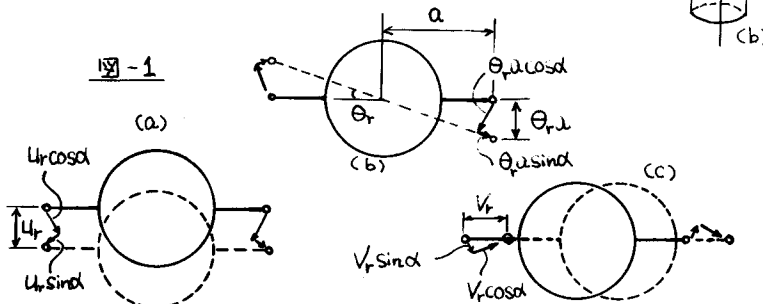
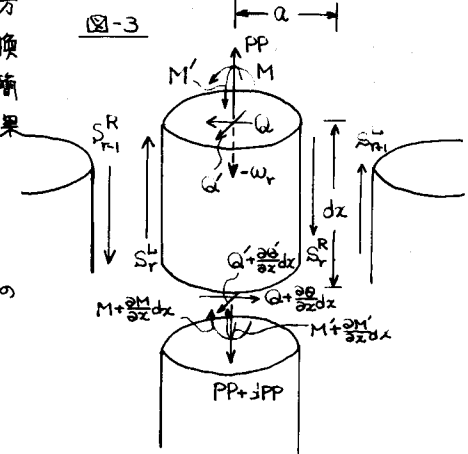


図-1

図-3



よって、構造全体としての半径方向の力の均り合い、接線方向の均り合い、ねじりの均り合い及び軸方向の力の均り合ひを取ると次の4本の連立微分差分方程式を得る。

$$EI \cdot \ddot{U}_r(x) + K_D \cdot U_r(x) = N_r(x) + K_N \left[\{ \Delta^2 U_{r-1}(x) - \Delta \theta_r(x) \cdot a \} \cdot \cos \delta + \Delta U_r(x) \cdot \sin \delta \right] \cdot \cos \delta \\ + K_T \left[\{ -\nabla^2 U_{r-1}(x) + \Delta \theta_r(x) \cdot a \} \cdot \sin \delta + \Delta U_r(x) \cdot \cos \delta \right] \cdot \sin \delta \quad (4)$$

$$EI \cdot \ddot{V}_r(x) + K_D \cdot V_r(x) = T_r(x) - K_N \left[\{ \Delta U_r(x) - \nabla^2 \theta_{r-1}(x) \cdot a \} \cdot \cos \delta + \nabla^2 U_{r-1}(x) \cdot \sin \delta \right] \cdot \sin \delta \\ + K_T \left[\{ -\Delta U_r(x) + \Delta^2 \theta_{r-1}(x) \cdot a \} \cdot \sin \delta + \Delta^2 V_{r-1}(x) \cdot \cos \delta \right] \cdot \cos \delta \\ - K_S \left[\Delta \dot{\omega}_{r-1} \cdot a + \nabla^2 \dot{V}_{r-1} \cdot a^2 \right] \quad (5)$$

$$-GJ \cdot \ddot{\theta}_r(x) = M_r(x) + K_N \left[\{ \Delta U_r(x) - \nabla^2 \theta_{r-1}(x) \cdot a \} \cdot \cos \delta + \nabla^2 U_{r-1}(x) \cdot \sin \delta \right] \cdot a \cos \delta \\ + K_T \left[\{ -\Delta U_r(x) + \Delta^2 \theta_{r-1}(x) \cdot a \} \cdot \sin \delta + \Delta^2 V_{r-1}(x) \cdot \cos \delta \right] \cdot a \sin \delta \quad (6)$$

$$EA \cdot \ddot{\omega}_r(x) = P(x) + K_S \left[\Delta^2 \omega_{r-1}(x) + \Delta \dot{V}_r(x) \cdot a \right] \quad (7)$$

故に上式に構造周辺方向(r -方向)に(4)(5)モーリエ cosine 定和分変換 及び(5)(6)には モーリエ sine 定和分変換を施こし、軸方向(x -方向)には(4)(5)(6)が有限モーリエ sine 変換(4)と有限モーリエ cosine 変換を行なうと境界条件を考慮することにより、多元連立代数方程式を解くことに帰着する。

3 実験概要及理論との比較

図-4に示す様な供試体をアクリル樹脂、塩化ビニールのパイプ及び鋼管で作製した。(写真:参考) 各パイプは、互いに写真に示す様な継手とし、ボルトで締めることにより、継手効果を高める。荷重は水平載荷を行ない、ダイヤルゲージ。ストレインゲージによって、変位、応力を知った。境界条件は、天端($x=0$)で自由端、根元部は固定端として行なった。図-5に塩化ビニール材の場合のゆるく継手を行なった場合(理論計算にあたっては $K_T = K_N = K_S = 3.5 \text{ kN/cm}^2$)の実験結果と解析結果の比較を示す。この場合、理論と実験はほぼ合致する。これにより、継手効果が確かめられ又、わずかではあるが、軸力の存在が認められる。その他の結果は当日報告の予定である。

《写真: 塩化ビニールの供試体全体及び継手状態》

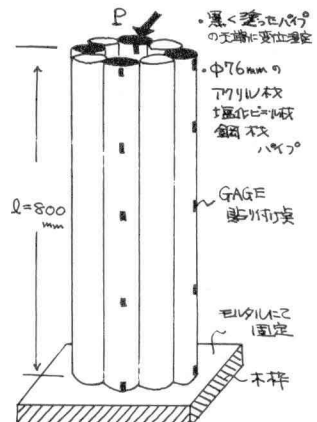
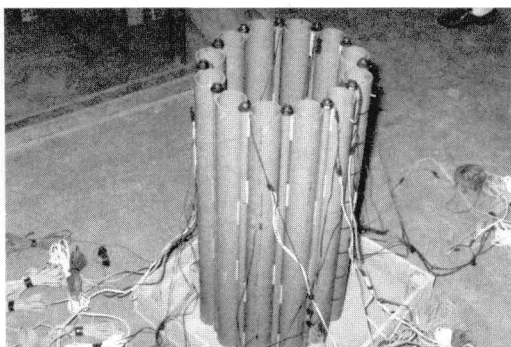


図-4 供試体全体図



※参考文献: 天板式基礎の設計と施工指針(同前会議)(天板式基礎研究会)

・全鋼管天板基礎の施工法と水平載荷試験(藤田, 等と基礎1973 Aug.)

・橋梁基礎の新工法-仮支撑切兼用鋼板井筒工法-(同上, 藤田)

・川筋式の鋼管天板半筒工法(技術資料)(同上会議1972 Aug.)

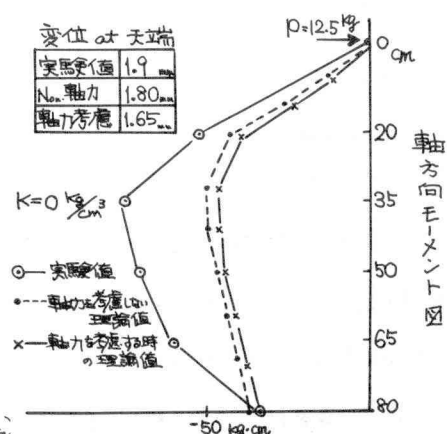


図-5 実験と理論値の比較図